

Перенормировка параметров зоны из-за взаимодействия с фононами в $\text{Bi}_2\text{Sr}_2\text{CaCu}_2\text{O}_{8-x}$ и определение параметров сверхпроводящей щели по температурной зависимости плотности сверхпроводящего тока в $\text{YBa}_2\text{Cu}_3\text{O}_7$

М. В. Еремин¹⁾, М. А. Малахов, Д. А. Сюняев

Институт физики, Казанский (Приволжский) федеральный университет, 420008 Казань, Россия

Поступила в редакцию 15 мая 2012 г.

После переработки 14 июня 2012 г.

Предложено простое описание перенормировки параметров зоны проводимости в купратах из-за взаимодействия носителей тока с фононами. Анализируются изломы (кинки) в законе дисперсии квазичастиц в области оптической фононной моды (70 мэВ, соединение $\text{Bi}_2\text{Sr}_2\text{CaCu}_2\text{O}_{8-x}$) и данные по температурной зависимости плотности сверхпроводящего тока в $\text{YBa}_2\text{Cu}_3\text{O}_7$. Обсуждаются идеи новых экспериментов.

Проблема описания перенормировки параметров зоны проводимости из-за взаимодействия носителей тока с полем фононов в купратах привлекает пристальное внимание исследователей. Принципиальное наличие такого взаимодействия не вызывает сомнения. Вопрос состоит в том, как его описать. В экспериментальных работах [1, 2] предполагается, что это можно сделать путем модификации эффективных интегралов перескока следующим образом: $t_{\text{eff}} = te^{-\gamma E_p/\hbar\omega}$. Здесь E_p – энергия полярона, ω – эффективная частота дыхательной кислородной моды. Эта формула качественно объясняет факт наблюдения изотопического эффекта у лондоновской глубины проникновения в купратах при замене ^{16}O на ^{18}O . Однако при этом возникают трудности при описании изотопического сдвига критической температуры перехода в сверхпроводящее состояние (T_c). В самом деле, при уменьшении ширины зоны проводимости из-за поляронного эффекта плотность состояний возрастает. Следовательно, при замене ^{16}O на ^{18}O критическая температура должна возрастать, а не уменьшаться. Иными словами, знак изотопического сдвига T_c должен быть противоположен тому, который наблюдается в экспериментах. Для разрешения этого противоречия в работе [3] была выдвинута идея о том, что в купратах интегралы перескока между различными соседями ионов меди в плоскости CuO_2 имеют различные поляронные факторы. Так, если допустить, что интеграл перескока t_2 между вторыми соседями подавляется в несколько раз сильнее, чем t_1 , то указанное выше противоречие может сняться. Однако до сих пор неясно, как реализовать эту идею (см. недавний обзор [4]). В серии

работ по наблюдению эффектов электрон-фононного взаимодействия методом ARPES обсуждаются варианты многозонных моделей (см. [5] и ссылки в ней).

В настоящем сообщении мы хотим обратить внимание на другой возможный вариант описания перенормировки параметров зоны проводимости, позволяющий описать изломы в законе дисперсии квазичастиц, с учетом того, что параметры электрон-фононной связи различны в разных точках контура Ферми. Последнее вполне естественно для модели синглетно-коррелированной зоны проводимости [6–8].

После преобразования Фрелиха поправку к закону дисперсии носителей тока из-за взаимодействия с фононами удобно записать в виде

$$\sum_{k,\sigma,q,\mu} |g_{k,q}^\mu|^2 \frac{\hbar\omega_q}{(\varepsilon_k - \varepsilon_{k+q})^2 - (\hbar\omega_q)^2} \langle 1 - n_{k+q,\sigma} \rangle a_{k,\sigma}^+ a_{k,\sigma}. \quad (1)$$

Здесь $a_{k,\sigma}^+$ ($a_{k,\sigma}$) – операторы рождения (уничтожения) квазичастиц в зоне проводимости, $n_{k+q,\sigma}$ – функции распределения Ферми, μ – индекс поляризации фононов. В случае пустой или полностью заполненной зоны среднее значение оператора (1) обращается в нуль, что следует из общих физических соображений. Известно, что наиболее сильными в купратах являются связи с продольными оптическими модами $\omega_q^\mu \approx 70$ мэВ, а носители тока главным образом распределены по позициям кислорода. Оператор электрон-фононной связи

$$H_1 = \sum_k g_{k,q}^\mu (b_{q,\mu} + b_{-q,\mu}^+) a_{k+q,\sigma}^+ a_{k,\sigma} \quad (2)$$

с продольными колебаниями удобно записать в виде [8, 9]

¹⁾ e-mail: meremin@ksu.ru

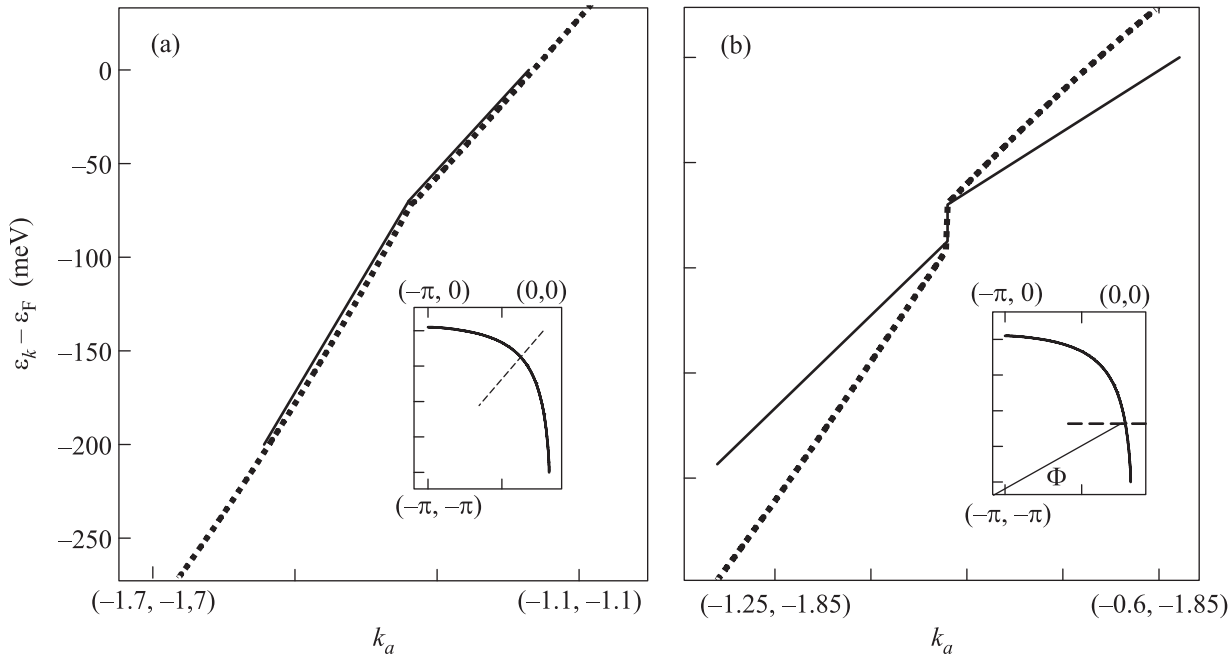


Рис. 1. Зависимости энергии квазичастиц от волнового вектора вдоль двух направлений зоны Бриллюэна: (а) – вдоль диагонали (нодальное направление); (б) – для направления, определяемого углом $\Phi = 27.5^\circ$ относительно направления k_x . Штриховые линии – расчет с параметрами зоны проводимости из [11] и $V_1 = 27$ мэВ, $V_2 = 40$ мэВ. Сплошные линии соответствуют экспериментальным данным [12, 13]

$$g_{k,q}^\mu = 2i\sqrt{\frac{\hbar}{2mN\omega_q}} \{g_1 + 2g_2[\cos k_x + \cos k_y + \cos(k_x + q_x) + \cos(k_y + q_y)]\} \sin \frac{q_\mu}{2}, \quad (3)$$

где g_1 и g_2 – параметры связи. Явный вид поправки к закону дисперсии квазичастиц после усреднения по волновым векторам оптических фононов приближенно определяется выражением

$$\Delta\varepsilon \approx -\frac{2}{m\omega^2} [3g_1g_2(\cos k_x + \cos k_y) + 4g_2^2 \cos k_x \cos k_y + g_2^2(\cos 2k_x + \cos 2k_y)]. \quad (4)$$

Дисперсией оптической моды здесь пренебрегается. Из (4) видно, что к затравочному закону дисперсии $\varepsilon_k = 2t_1(\cos k_x + \cos k_y) + 4t_2 \cos k_x \cos k_y + 2t_3(\cos 2k_x + \cos 2k_y)$... при $|\varepsilon_k - \varepsilon_F| \leq 70$ мэВ из-за взаимодействия с фононами добавляется поправка, которая может быть представлена как перенормировка интегралов перескока типа

$$\begin{aligned} t_1^{\text{eff}} &= t_1 - \frac{6V_1V_2}{\hbar\omega} \theta(\hbar\omega - |\varepsilon_k - \varepsilon_F|), \\ t_2^{\text{eff}} &= t_2 - \frac{4V_2^2}{\hbar\omega} \theta(\hbar\omega - |\varepsilon_k - \varepsilon_F|), \\ t_3^{\text{eff}} &= t_3 - \frac{2V_2^2}{\hbar\omega} \theta(\hbar\omega - |\varepsilon_k - \varepsilon_F|), \end{aligned} \quad (5)$$

где $\theta(\hbar\omega - |\varepsilon_k - \varepsilon_F|)$ – тета-функция. Следует подчеркнуть, что механизм спаривания при выводе фор-

мул (5) нами не конкретизировался. Взаимодействие носителей тока с фононами имеет место при любом механизме спаривания. Для удобства здесь введены величины $V_1 = g_1/\sqrt{2m\omega}$ и т. п. Из (5) видно, что относительные изменения интегралов перескока t_2 и t_3 довольно велики по сравнению с t_1 , так как для купратов $|t_1| \gg |t_2|$, $|t_1| \gg |t_3|$.

Кроме того, видно, что поправка к закону дисперсии квазичастиц из-за взаимодействия с фононами изменяет значения групповых скоростей, что приводит к “излому” графической зависимости энергии от волнового вектора (кинкам) [10]. Это обстоятельство позволяет нам оценить параметры V_1 и V_2 по имеющимся экспериментальным данным для $\text{Bi}_2\text{Sr}_2\text{CaCu}_2\text{O}_{8-x}$ (см. рис. 1).

Положение интересующего нас кинка имеет изотопический сдвиг по шкале энергии при замене ^{16}O на ^{18}O [12]. Все свидетельствует в пользу того, что он обусловлен именно связью с оптическими фононами ($\hbar\omega \approx 70$ мэВ). Параметры зоны и поверхности Ферми задавались в соответствии с данными фотоэлектронной спектроскопии [11] (в мэВ): $t_1 = 148.2$, $t_2 = -39.4$, $t_3 = 7.9$, $t_4 = 29.5$, $t_5 = -9.1$, $\varepsilon_F = 117$. Как видно из рис. 1а, эти параметры хорошо подходят для описания дисперсии вдоль диагонали зоны Бриллюэна. Вообще говоря, отличие от нее рассчитанной дисперсии вдоль другого направления (рис. 1б) ука-

зывает на необходимость корректировки набора параметров зоны [11]. Однако для наших целей (оценка параметров электрон-фононной связи) важно описать изменение наклонов (кинки), которые в обоих случаях достаточно хорошо воспроизводятся расчетом при $V_1 = 27$ мэВ и $V_2 = 40$ мэВ. Отметим, что определенное нами значение параметра электрон-фононной связи $V_1 = 27$ мэВ существенно уточняет имеющиеся теоретические оценки (см. таблицу), которые

Теоретические оценки параметра V_1 для дыхательной моды

V_1 , мэВ	30	65	125	110
Ссылка	[14]	[15]	[16]	[17]

отличаются заметным разбросом значений. Члены с параметром V_2 в работах [14–17] не учитывались. Из (5) видно, что наличие параметра V_2 играет решающую роль в нашем рассмотрении.

Имевшая место неопределенность в выборе значений параметров электрон-фононной связи, естественно, приводила к различным выводам о роли фононного механизма спаривания в купратах [8, 15–17]. Наши оценки параметров V_1 , V_2 следует рассматривать как “оценки сверху”, так как нами не учитывались возможные вклады в перенормировку параметров закона дисперсии из-за взаимодействия носителей тока с иными бозонными модами (парамагнонными, плазмонными и т.п.). Это обстоятельство, однако, не уменьшает принципиальной значимости нашего результата. В самом деле, как видно из приведенной таблицы, имеющиеся в литературе оценки параметра V_1 , как правило, в несколько раз больше нашей оценки. Это означает, что оценка эффективности фононного механизма теперь уменьшается на порядок величины. В связи с этим интересно найти решения уравнения типа БКШ для параметра порядка при найденных нами значениях параметров электрон-фононной связи. Проведенные нами численные решения уравнения

$$\Delta_k = -\frac{1}{N} \sum_{k', \mu} |g_{k, k-k'}^\mu|^2 \times \frac{\hbar\omega_{k-k'}^\mu \theta(\hbar\omega_{k-k'}^D - |\varepsilon_k - \varepsilon_{k'}|) \Delta_{k'}}{(\varepsilon_k - \varepsilon_{k'})^2 - (\hbar\omega_{k-k'})^2} \frac{\Delta_{k'}}{E_{k'}} \tanh \frac{E_{k'}}{2k_B T} \quad (6)$$

показали, что критическая температура является довольно высокой. Более того, из-за зависимости $g_{k, k-k'}^\mu$ от k параметр порядка имеет зависимость от волнового вектора. Однако последний обладает симметрией s -типа, что не соответствует имеющимся экспериментальным данным. Это означает, что фононный механизм не является доминирующим в купратах. Наряду со взаимодействием через поле фононов существуют и иные механизмы спаривания ква-

зичастиц. Согласно [18] и др. наиболее вероятными считаются суперобменное взаимодействие и взаимодействие носителей тока через спиновые флуктуации. Не выяснена пока роль экранированного кулоновского взаимодействия. Ниже мы приведем соображения о зависимости сверхпроводящей щели от волнового вектора в купратах, основанные на экспериментальных данных.

Для анализа относительной роли s - и d -компонент в параметре порядка полезно проанализировать данные для сверхпроводящих купратов с ромбической симметрией. В тетрагональном кристалле одновременное существование s - и d -компонент запрещено правилами отбора. Решение интегрального уравнения БКШ должно преобразовываться по одному из неприводимых представлений точечной группы симметрии первой зоны Бриллюэна. В случае ромбической симметрии кристалла s - и d -компоненты преобразуются по одному и тому же представлению. Поэтому оказывается возможным по экспериментальным данным узнать их относительную роль в параметре порядка и тем самым судить об относительной роли различных потенциалов спаривания. Наиболее подробная информация получена для $YBa_2Cu_3O_7$. На рис. 2 приведены результаты нашего расчета температурной зависимости плотности сверхпроводящего тока вдоль осей a и b в сопоставлении с экспериментальными данными [19]. Расчет проведен по формуле

$$\frac{1}{\lambda^2} = 4\pi \left(\frac{e}{c\hbar} \right)^2 \times \sum_k \frac{d\varepsilon_k}{dk_x} \left[\frac{|\Delta_k|^2}{E_k^2} \frac{d\varepsilon_k}{dk_x} - \frac{(\varepsilon_k - \mu)}{2E_k^2} \frac{d|\Delta_k|^2}{dk_x} \right] \times \left(\frac{1}{E_k} - \frac{d}{dE_k} \right) \tanh \frac{E_k}{2k_B T}. \quad (7)$$

Ее детальный вывод изложен в работе [20]. Зависимость сверхпроводящей щели от волнового вектора феноменологически задавалась в виде

$$\Delta_k = \Delta_d (\cos k_x - \cos k_y) / 2 + \Delta_s, \quad (8)$$

где $\Delta_d(T=0) \approx 29$ мэВ, $\Delta_s(T=0) \approx 5$ мэВ. Температурные зависимости обеих компонент считались одинаковыми $(\Delta_1(T) = \Delta_1 \tanh(1.75 \sqrt{T_c/T - 1}))$. Значения эффективных интегралов, определяющих поверхность Ферми, задавались так же, как в работе [21]. Интересно отметить, что полученная нами посредством анализа температурного хода плотности сверхпроводящего тока оценка $\Delta_s(T=0) \approx 5$ мэВ хорошо согласуется с оценками по рассеянию нейтронов [21], по данным фотоэлектронной эмиссии ARPES [22], фазово-чувствительным методом [23] и с помощью рамановской спектроскопии [24].

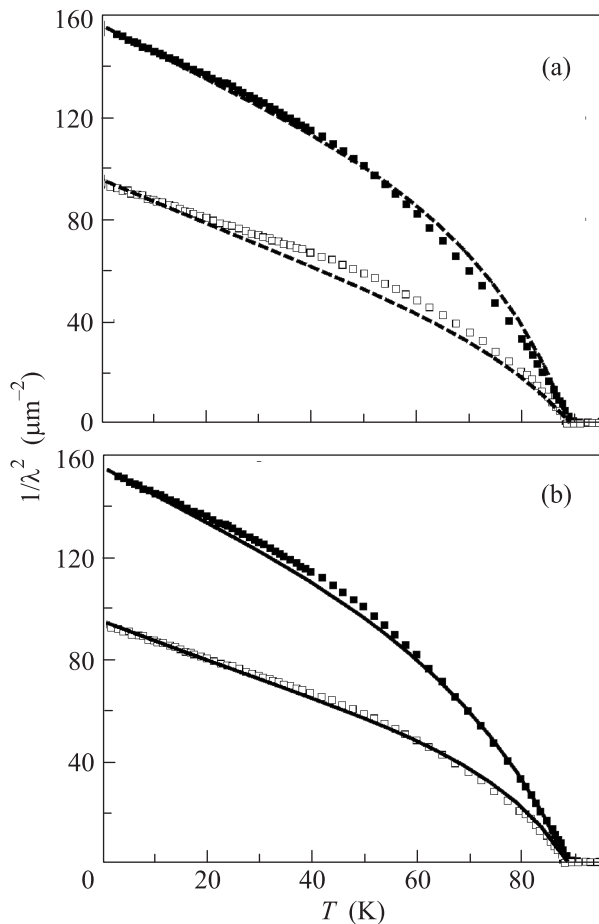


Рис. 2. Температурные зависимости плотности сверхпроводящего тока вдоль осей a и b кристалла $\text{YBa}_2\text{Cu}_3\text{O}_7$ из [19] (квадраты). Черные и белые квадраты отвечают направлениям вдоль осей b и a соответственно. (а) – Расчет по формуле (7) при $\Delta_d = 29$ мэВ, $\Delta_s = 0$ (штриховые линии). (б) – Расчет при $\Delta_d = 29$ мэВ, $\Delta_s = 5$ мэВ (сплошные линии)

Существенно, что из-за неоднородного подавления параметров зоны эффективные интегралы перескока осей t_1 , t_2 и t_3 вдоль различных осей ромбической решетки кристалла перенормируются по-разному. Это обстоятельство можно использовать в экспериментальных исследованиях для получения важной информации о деталях перенормировки интегралов перескока.

В заключение укажем еще один возможный эксперимент, который мог бы дать дополнительную информацию по затронутой проблеме. Логично предположить, что параметры Δ_s и Δ_d обусловлены взаимодействиями различного типа. Поэтому при замене ^{16}O на ^{18}O изотопический сдвиг у компонент Δ_s и Δ_d должен быть разным. В связи с этим сравнительные экспериментальные исследования изотопических

сдвигов в ромбических и тетрагональных кристаллах представляют значительный интерес.

Работа выполнена при частичной поддержке Swiss National Science Foundation, Grant # IZ7320 128242. М.В.Е. благодарен Н. Keller и Б. И. Кочелаеву за полезные дискуссии.

1. G. M. Zhao, M. B. Hunt, H. Keller, and K. A. Muller, *Nature* **385**, 236 (1997).
2. G. M. Zhao, H. Keller, and K. Conder, *J. Phys.: Condens. Matter* **13**, R569 (2001).
3. A. Bussmann-Holder and H. Keller, *Eur. Phys. J. B* **44**, 487 (2005).
4. H. Keller and A. Bussmann-Holder, *Advances in Condensed Matter Physics* **2010**, 393526 (2010).
5. S. Johnston, F. Vernay, B. Moritz et al., *Phys. Rev. B* **82**, 064513 (2010).
6. F. C. Zhang and T. M. Rice, *Phys. Rev. B* **37**, 3759 (1988).
7. М. В. Еремин, С. Г. Соловьянов, С. В. Варламов, *ЖЭТФ* **112**, 1763 (1997).
8. S. Ishihara and N. Nagaosa, *Phys. Rev. B* **69**, 144520 (2004).
9. Е. И. Шнейдер, С. Г. Овчинников, *Письма в ЖЭТФ* **83**, 462 (2006).
10. A. Lanzara, P. V. Bogdanov, X. J. Zhou et al., *Nature* **412**, 510 (2001).
11. M. Eschrig and M. R. Norman, *Phys. Rev. B* **67**, 144503 (2003).
12. H. Iwasawa, J. F. Douglas, K. Sato et al., *Phys. Rev. Lett.* **101**, 157005 (2008).
13. T. Cuk, F. Baumberger, D. H. Lu et al., *Phys. Rev. Lett.* **93**, 117003 (2004).
14. M. V. Eremin, *Z. Naturforsch* **49**, 385 (1994).
15. J. Song and J. F. Annett, *Phys. Rev. B* **51**, 3840 (1995).
16. W. Sandvik, D. J. Scalapino, and N. E. Bickers, *Phys. Rev. B* **69**, 094523 (2004).
17. O. Rosch and O. Gunnarsson, *Phys. Rev. Lett.* **92**, 146403 (2004).
18. N. M. Plakida, *High-Temperature Cuprate Superconductors Experiment, Theory and Applications*, Springer, 2011.
19. D. A. Bonn and W. N. Hardy, in *Handbook of High-Temperature Superconductivity, Theory and Experiment* (ed. by J. R. Schrieffer and J. S. Brooks), Springer Science + Business Media, LLC, 2007, p. 145.
20. M. V. Eremin, I. A. Larionov, and I. E. Lyubin, *J. Phys.: Condens. Matter* **22**, 185704 (2010).
21. A. P. Schnyder, D. Manske, Ch. Mudry, and M. Sigrist, *Phys. Rev. B* **73**, 224523 (2006).
22. D. H. Lu, D. L. Feng, N. P. Armitage et al., *Phys. Rev. Lett.* **86**, 4370 (2001).
23. J. R. Kirtley, C. C. Tsuei, A. Ariando et al., *Nature Physics* **2**, 190 (2006).
24. M. Bakr, A. P. Schnyder, L. Klam et al., *Phys. Rev. B* **80**, 064505 (2009).